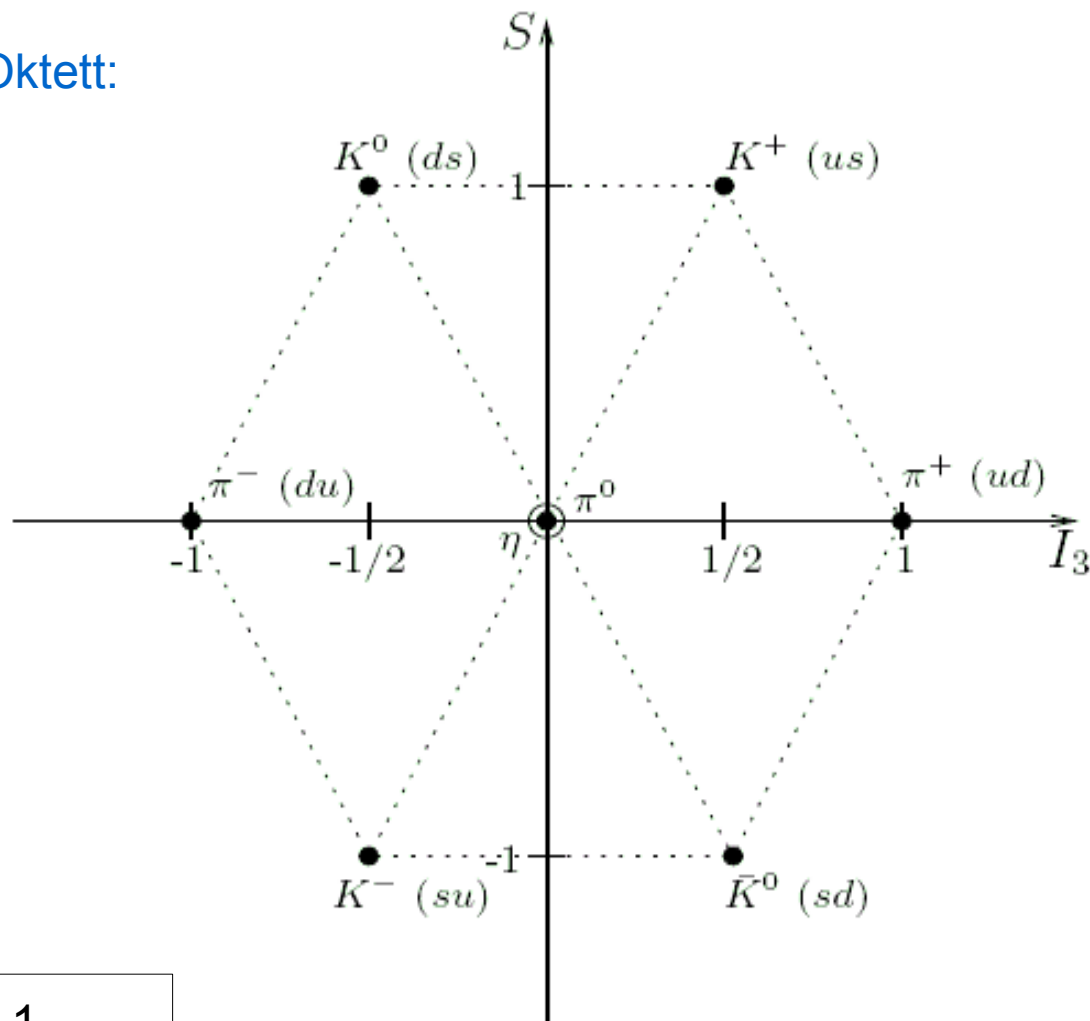


Pseudoskalare Mesonen mit $J^\pi = 0^-$

	$I_3 = -1$	$-1/2$	0	$1/2$	1
$S \left\{ \begin{array}{l} 1 \\ 0 \\ -1 \end{array} \right.$	$d\bar{s}$	$u\bar{u}, d\bar{d}, s\bar{s}$	$u\bar{s}$	$u\bar{d}$	
	$d\bar{u}$	$s\bar{u}$	$s\bar{d}$		

Oktett:



9 mögliche Zustände mit Spin = 0
 -> von Gruppenstruktur
 ein Oktett und ein Singlett

und Singulett:
 $|=0, J=0, S=0 \rightarrow \eta'$

Fig. 7-1

Pseudoskalare Mesonen $J^\pi = 0^-$

(S=Strangeness)

Meson	Quark-Kombination	I	I_3	S	Masse / MeV
π^-	$d\bar{u}$	1	-1	0	140
π^+	$u\bar{d}$	1	1	0	140
π^0	$\frac{1}{\sqrt{2}}(d\bar{d} - u\bar{u})$	1	0	0	135
K^+	$u\bar{s}$	$1/2$	$1/2$	+1	494
K^0	$d\bar{s}$	$1/2$	$-1/2$	+1	498
K^-	$\bar{u}s$	$1/2$	$-1/2$	-1	494
\bar{K}^0	$\bar{d}s$	$1/2$	$1/2$	-1	498
η	$\frac{1}{\sqrt{6}}(d\bar{d} + u\bar{u} - 2s\bar{s})$	0	0	0	549
η'	$\frac{1}{\sqrt{3}}(d\bar{d} + u\bar{u} + s\bar{s})$	0	0	0	958

Fig. 7-2

Vektormesonen mit $J^\pi = 1^-$

9 mögliche Zustände mit Spin = 1

Massen 800-1000 MeV

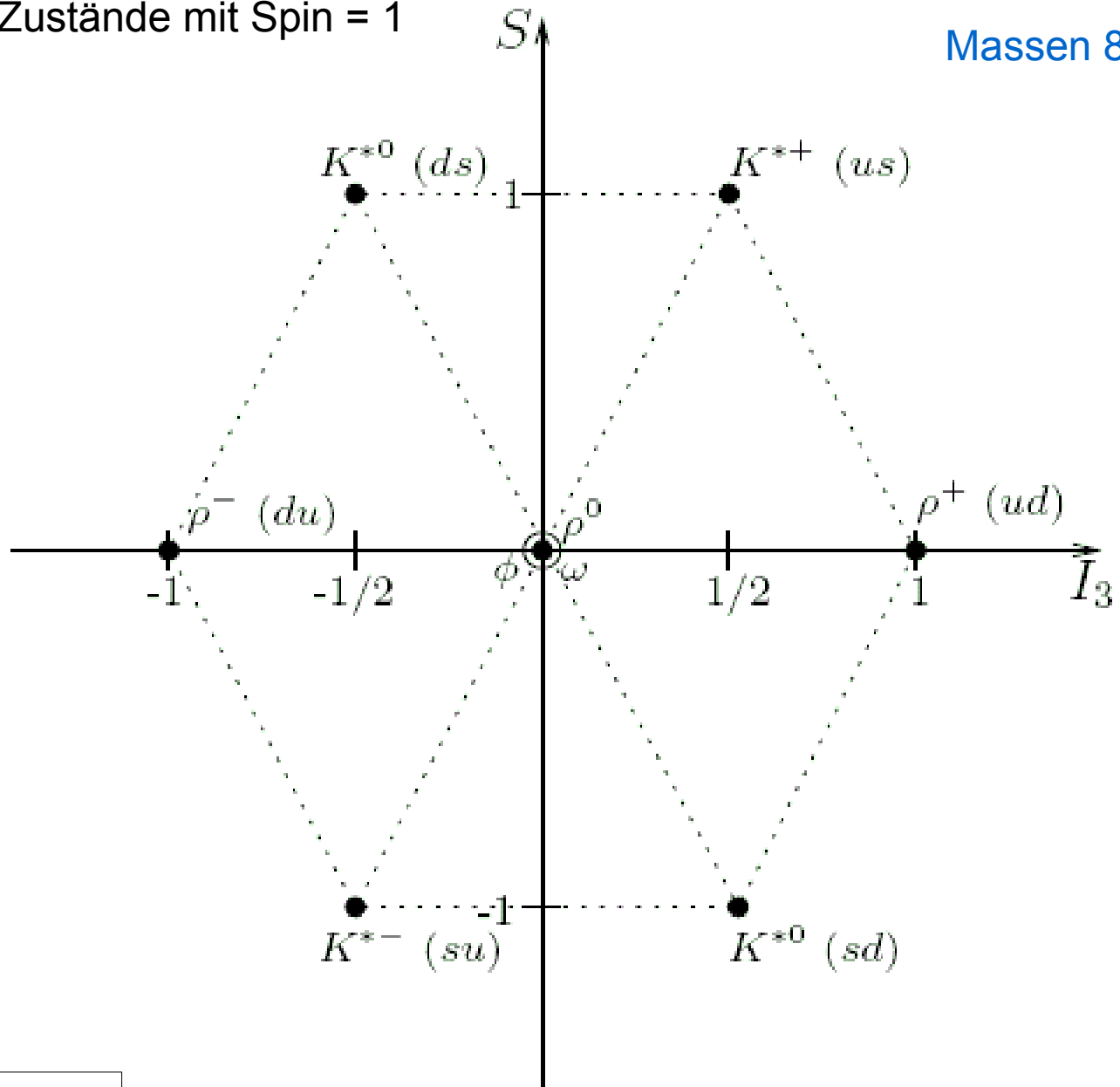
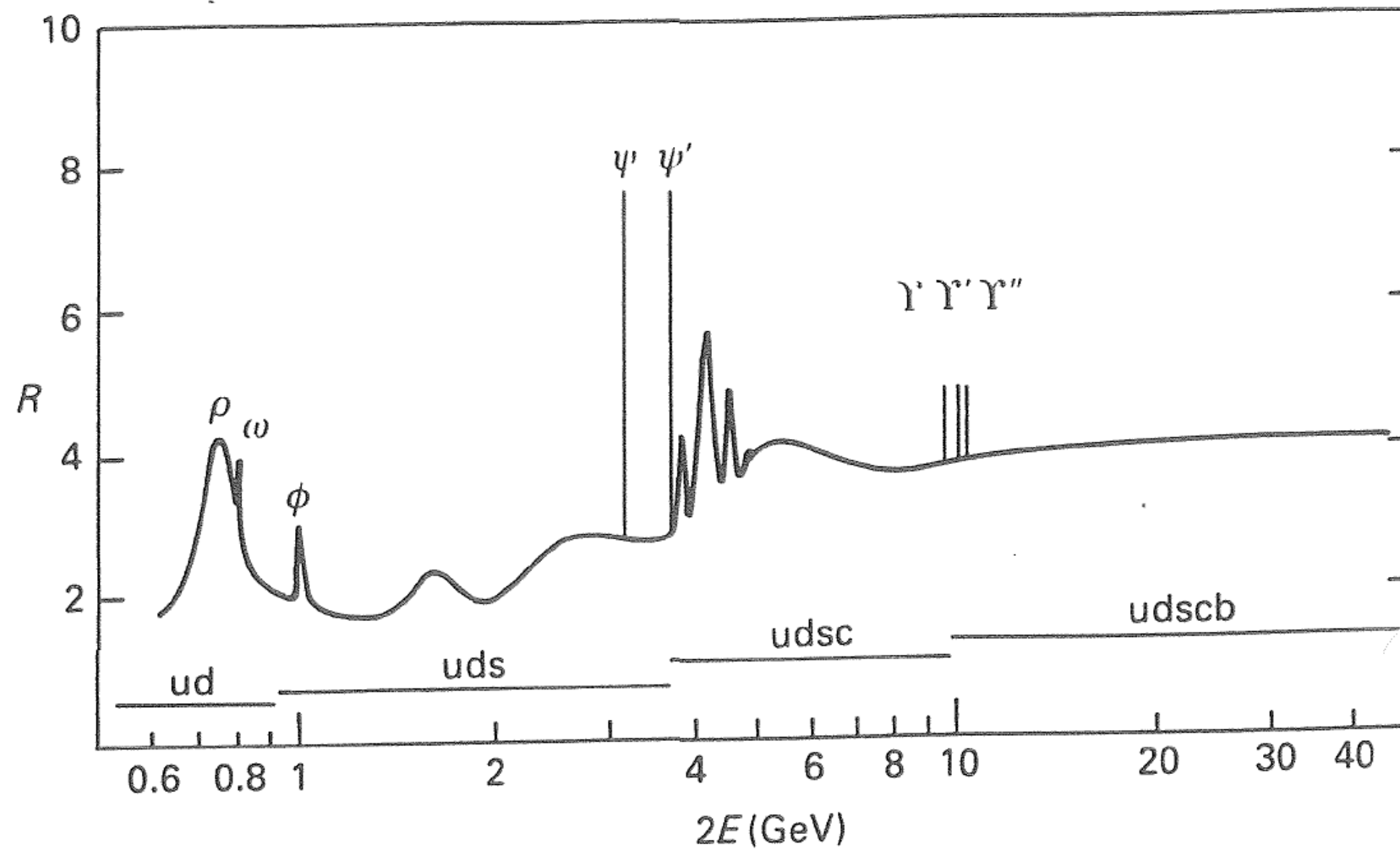


Fig. 7-3

Evidenz für 3 Farben



$$R = \frac{\text{cross-section for } e^+e^- \rightarrow \text{hadrons}}{\text{cross-section for } e^+e^- \rightarrow \mu^+\mu^-}$$

Fig. 7-4

Quarks materialisieren sich als Jets

Prinzip:

im Experiment:

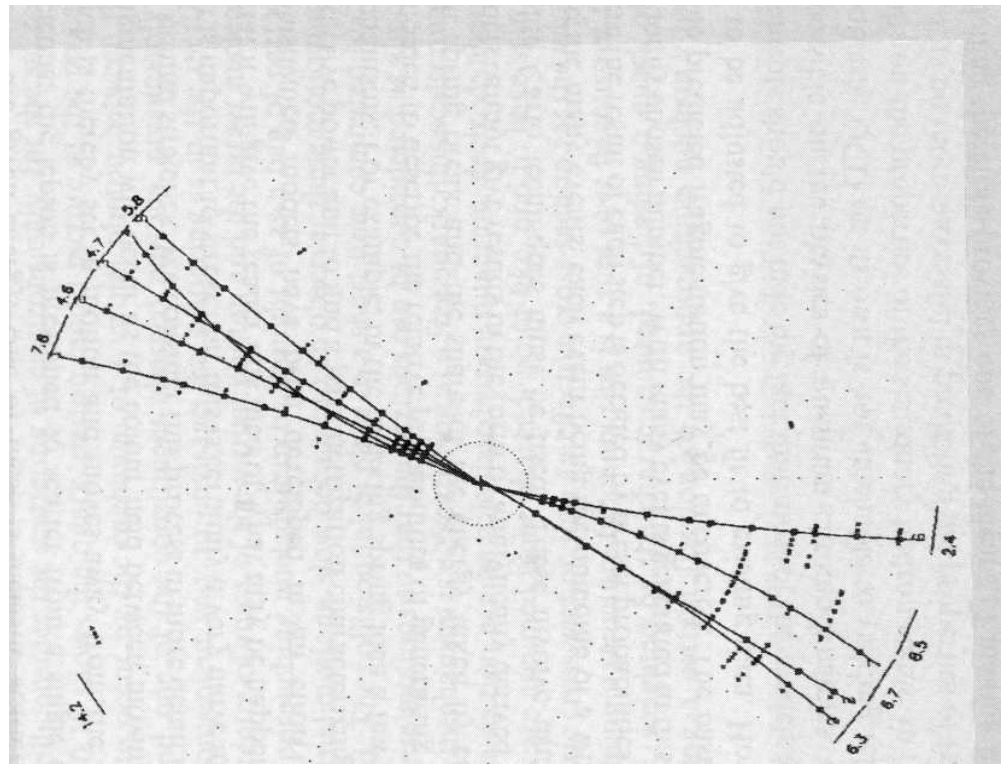
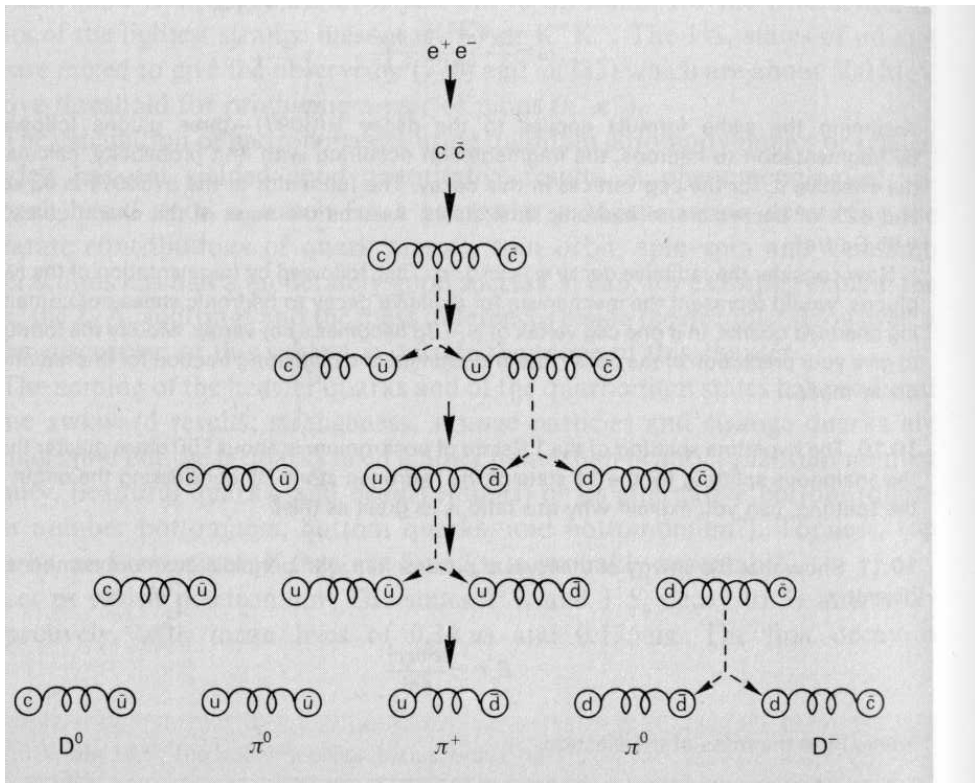


Fig. 7-4a

Entdeckung des Topquarks durch Rekonstruktion von Jets und inv. Masse

CDFam Tevatron:
Nachweis von 2 b-Jets aus $t\bar{t}$ Zerfall

$$\begin{aligned} p + \bar{p} &\rightarrow t\bar{t} + X \\ &\quad \bar{b} + W^+ \rightarrow e^+ \nu_e \\ &\quad b + W^+ \rightarrow q\bar{q} \text{ 2 jets} \end{aligned}$$

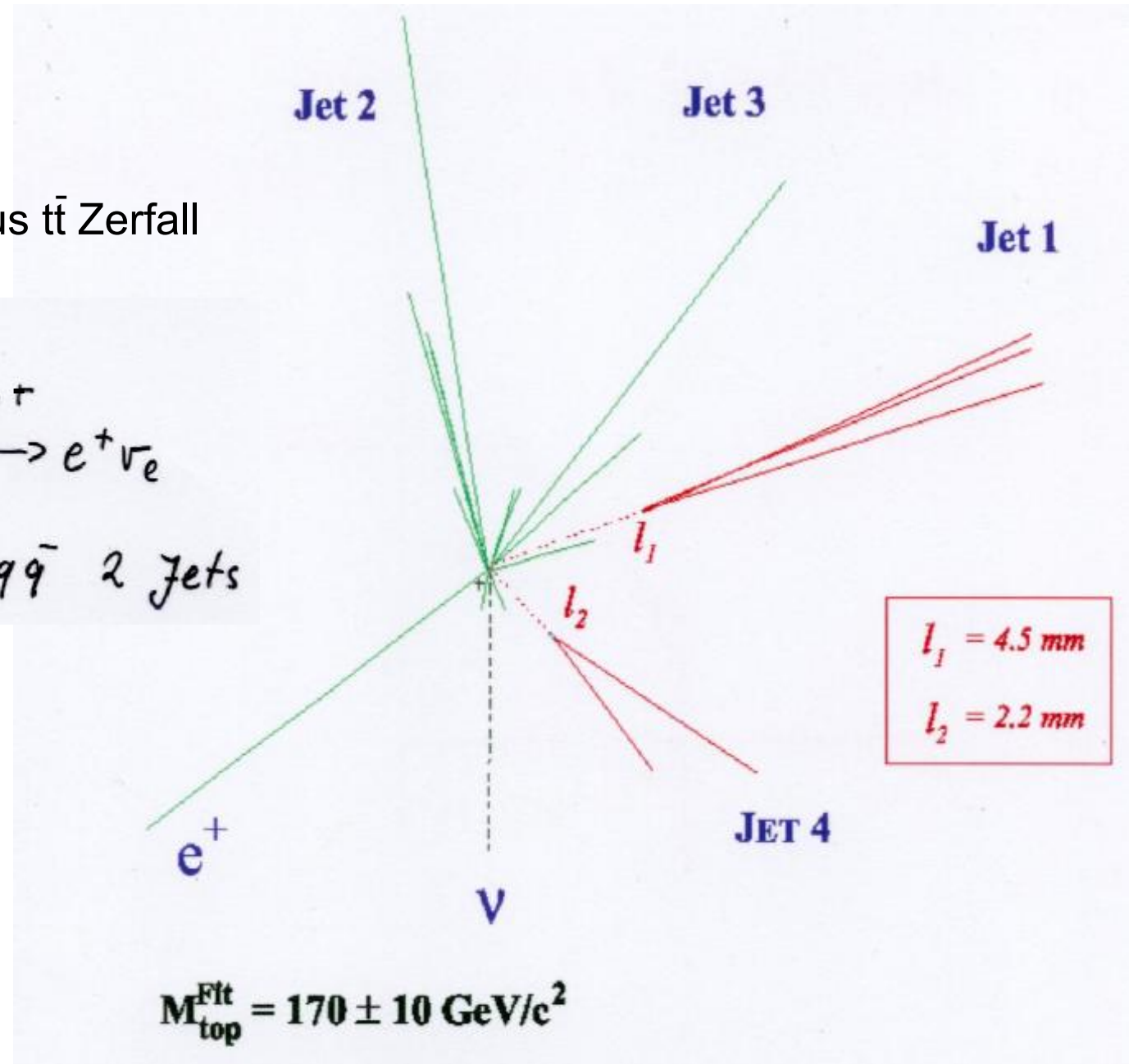


Fig. 7-4b

das Baryon Oktett mit $J^\pi = \frac{1}{2}^+$

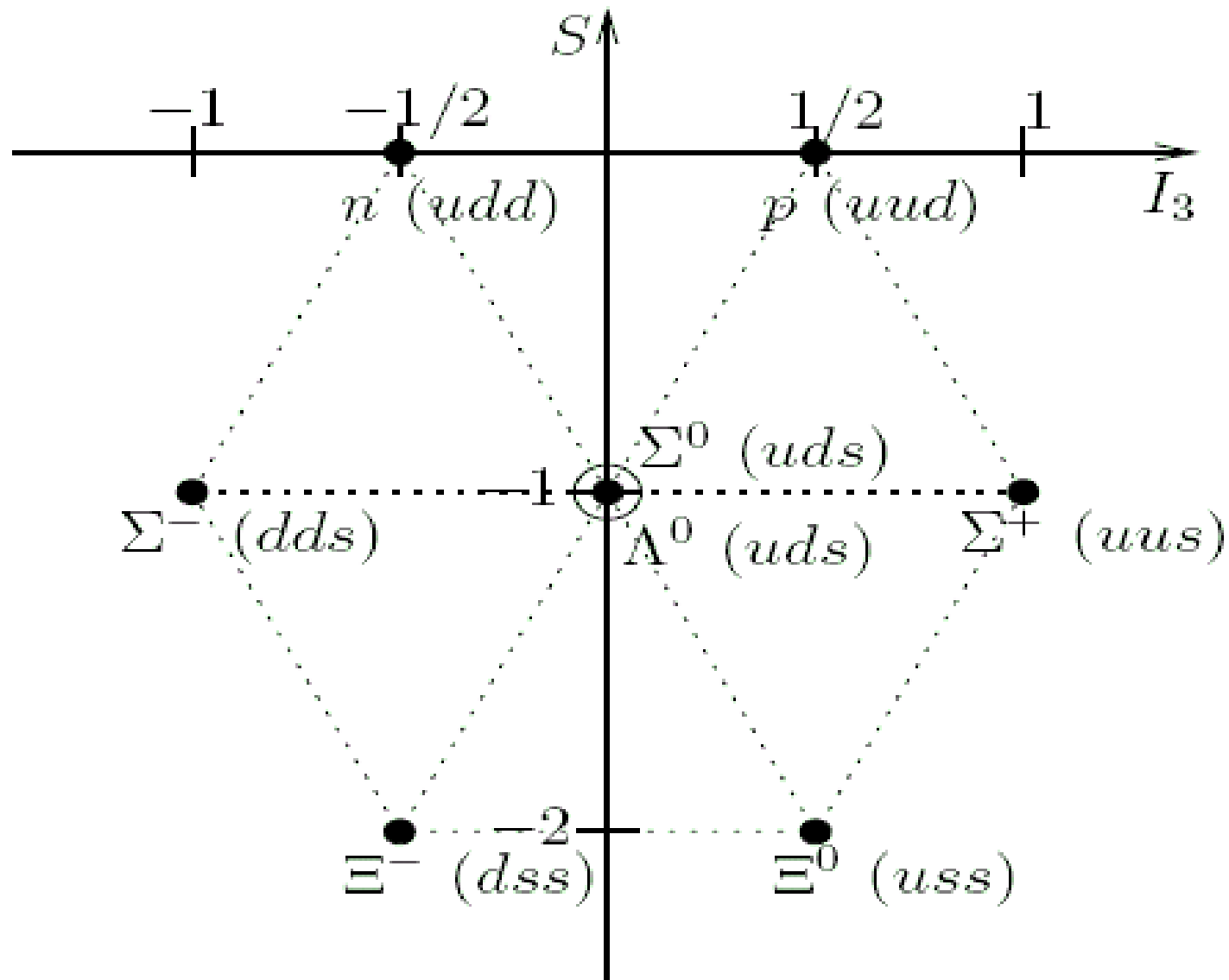
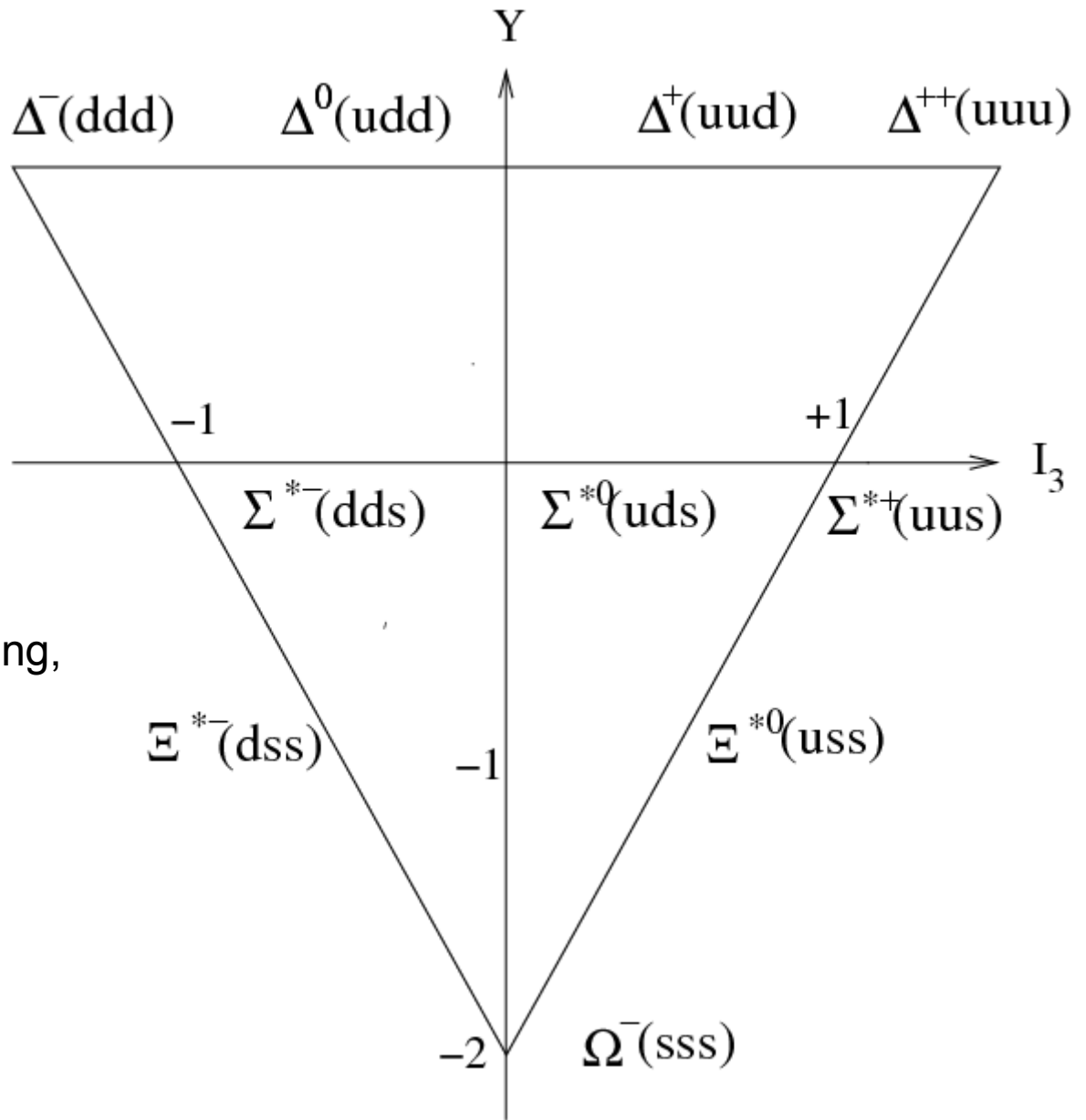


Fig. 7-5

das $J^\pi = 3/2^+$ Baryon-Dekuplett:



hier wird die sog. Hyperladung,
definiert als $Y = A + S$
verwendet

Fig. 7-6

Niveaustuktur von Charmonium im Vergleich mit Positronium

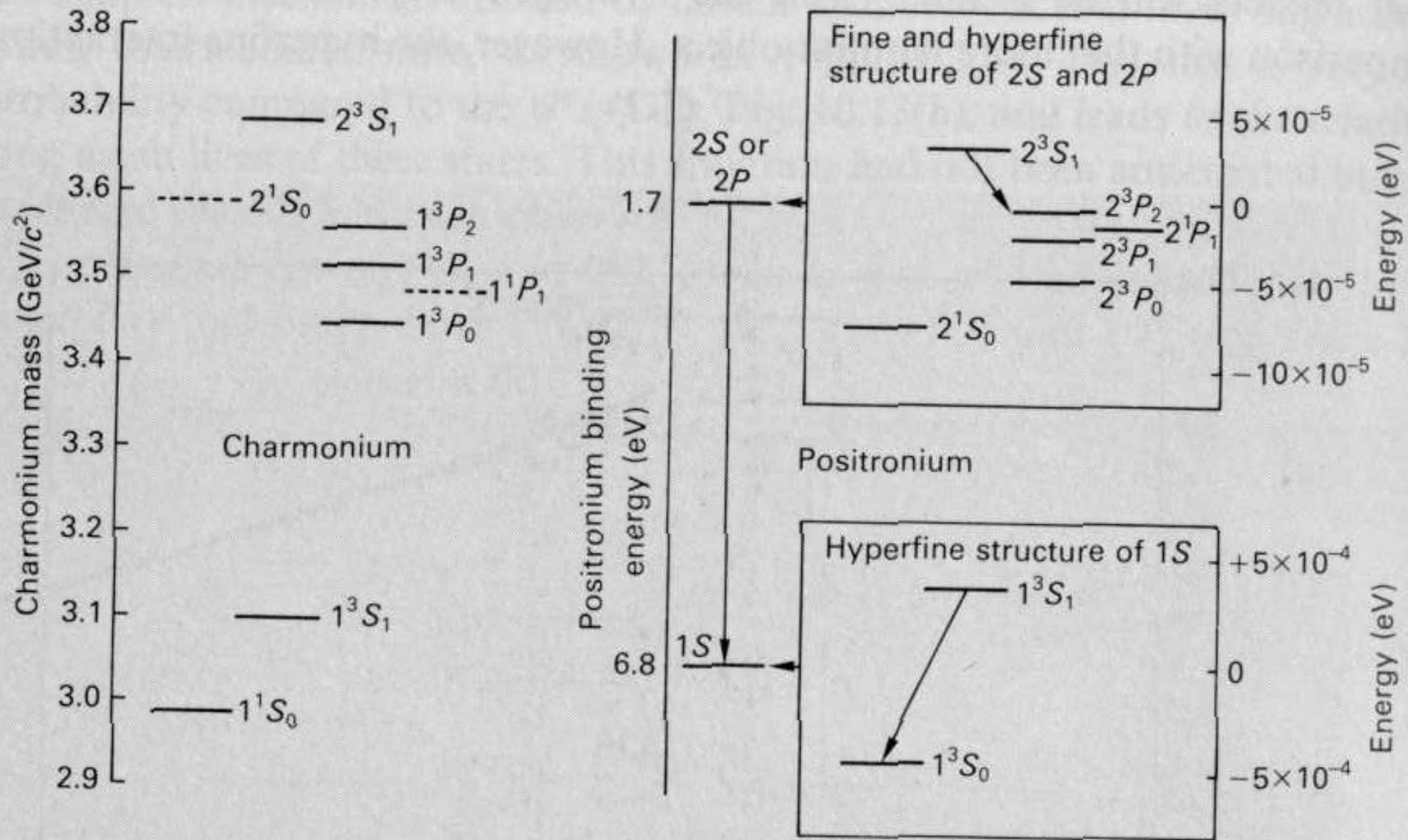


Fig. 7-7